

# Изучение генетических основ и разработка протоколов для диагностики наследственных заболеваний органа зрения на примере врожденной анириидии\*

Васильева Т.А.<sup>1</sup>, Хлебникова О.В.<sup>1</sup>, Марахонов А.В.<sup>1,2</sup>, Петрова Н.В.<sup>1</sup>,  
Воскресенская А.А.<sup>3</sup>, Поздеева Н.А.<sup>3</sup>, Крынская И.А.<sup>1</sup>, Козлова Ю.О.<sup>1</sup>,  
Ряднинская Н.В.<sup>1</sup>, Чухрова А.Л.<sup>1</sup>, Шилова Н.В.<sup>1</sup>, Зинченко Р.А.<sup>1,4</sup>

<sup>1</sup> – Федеральное государственное бюджетное научное учреждение «Медико-генетический научный центр»

<sup>2</sup> – Федеральное государственное автономное образовательное учреждение высшего образования  
«Московский физико-технический институт (государственный университет)»

<sup>3</sup> – Чебоксарский филиал Федерального государственного автономного учреждения  
«Межотраслевой научно-технический комплекс «Микрохирургия глаза» им. академика С.Н. Федорова  
Министерства здравоохранения Российской Федерации

<sup>4</sup> – Государственное бюджетное образовательное учреждение высшего профессионального образования  
«Российский национальный исследовательский медицинский университет им. Н.И. Пирогова»  
Министерства здравоохранения Российской Федерации

**Актуальность.** Врожденные пороки развития органа зрения составляют немалую долю причин инвалидизации в детском возрасте. Врожденная анириидия является тяжелым наследственным пороком развития, наследующимся аутосомно-доминантно. Врожденная анириидия вызывается мутациями гена PAX6. Цель. Оценить спектр генетических нарушений в группе больных врожденной анириидией из российской популяции. На основе полученных результатов разработать протокол диагностики врожденной анириидии. **Материалы и методы.** Тридцати четырем пациентам из 27 неродственных семей проведены офтальмологическое обследование и ДНК диагностика, включающая секвенирование кодирующих экзонов гена PAX6 с последующим анализом крупных хромосомных перестроек локуса 11p13. **Результаты.** Проанализировано 22 больных без отягощенной семейной истории и 12 семейных случаев врожденной анириидии. У двух пациентов определена протяженная делеция региона 11p13, позволившая установить предположительный диагноз синдрома WAGR. Среди оставшихся пациентов мутации были определены во всех случаях. У 23 пациентов были обнаружены точковые мутации гена PAX6: семь новых и восемь различных ранее описанных мутаций. Крупные делеции определены у одиннадцати пациентов. Проанализированный спектр мутаций позволил определить особенности генетических причин врожденной анириидии у российских больных и разработать протокол диагностики врожденной анириидии. **Выводы.** Определены мутации у 100% проанализированных больных. Разработан протокол диагностики врожденной анириидии с учетом особенностей спектра наследственных изменений, приводящих к этому заболеванию, в российской популяции.

**Ключевые слова:** наследственные заболевания, орган зрения, анириидия, WAGR синдром, тест-система, крупные хромосомные аберрации, вариации числа копий, FISH анализ, потеря гетерозиготности, мутации

## Введение

Врожденные пороки развития (ВПР) органа зрения являются одной из основных причин инвалидности в детском возрасте с малой эффективностью лечения. Распространенность этой патологии составляет не менее 2,7 на 10 000 населения. В связи с отсутствием для большинства ВПР органа зрения эффективной хирургической и терапевтической коррекции возрастает роль профилактических мероприятий, направленных на предотвращение появления повторных случаев заболевания в отягощенных семьях. Именно поэтому актуаль-

ной представляется разработка протоколов для диагностики ВПР органа зрения.

Разработка таких протоколов связана со значительными трудностями, вызванными разнообразием этиологических причин ВПР глаза. По этиологическому принципу различают три группы пороков: наследственные, экзогенные, многофакторные [1]. Доля моногенных ВПР среди наследственной патологии глаз в различных популяция РФ составляет от 14 до 55% [2]. Одна из частых форм ВПР органа зрения — врожденная анириидия — наследственный моногенный или хромосомный множественный порок развития, затрагивающий

\* Авторы заявляют об отсутствии конфликта интересов.

Исследование больных врожденной анириидией частично поддержано грантами РФФИ 14-04-00525 и 15-04-01859. Часть исследования оплачена Благотворительным фондом «Созидание».

Авторы благодарны за неоцененную помощь и инициативу в организации исследования врожденной анириидии в нашей стране Галине Николаевне Генинг — президенту Межрегиональной общественной организации «Межрегиональный центр помощи больным анириидией «Радужка», всем пациентам и их семьям за их участие, а также Елене Тимошиной — председателю Благотворительного фонда «Созидание» за поддержку в развитии проекта.

в большинстве случаев все структуры глаза, ЦНС (в 10–17% это грубые нарушения и задержка развития), поджелудочную железу (ее эндокринная функция немного снижена, у пациентов нарушена толерантность к глюкозе из-за снижения уровня секретируемого инсулина, иногда развивается сахарный диабет второго типа), гипotalамо-гипофизарную систему, а иногда и другие системы органов (менее 10%) [3, 4]. С 2003 г. в России зарегистрировано около 300 случаев врожденной анириидии (неопубликованные данные ФГАУ «МНТК «Микрохирургия глаза» им. акад. С.Н. Федорова» и Межрегиональной общественной организации «Межрегиональный центр помощи больным анириидией «Радужка»). В последние годы предлагается вместо названия нозологической формы «врожденная анириидия» использовать новый термин *PAX6* синдром [5].

Врожденная анириидия в 75% случаев встречается как изолированный порок развития глаза без очевидного визуализированного вовлечения других органов и систем, в 10% ВПР радужки осложнен дополнительными поражениями. В обоих случаях врожденная анириидия обусловлена гетерозиготными мутациями в гене *PAX6*, в том числе хромосомными перестройками, вовлекающими регион 11p13. В 13% случаев анириидия встречается как часть синдрома WAGR [6]. Синдром WAGR обусловлен делецией региона 11p13, захватывающей локусы гена *PAX6* и гена предрасположенности к развитию опухоли Вильмса *WT1*. WAGR встречается, в основном, в виде спорадических случаев. Во всех спорадических случаях врожденной анириидии до установления генетической причины больной анириидией имеет 50%-ный риск развития нефробластомы до 8 лет жизни [7]. Высокий риск и злокачественность карциномы почки, составляющей синдром WAGR, — определяют важность дифференциального диагноза.

В 2–5% случаев анириидия ассоциирована с другими моногенными и хромосомными синдромами, более редкими по частоте [6]. В международной базе данных OMIM выделено 25 различных синдромов. В редких случаях (от 4 до 10%) врожденная анириидия может быть ассоциирована с мутациями в генах *FOXC1* (OMIM\*601090), *PITX2* (OMIM\*601542), *PITX3* (OMIM\*602669) и других [8–10]. При этом в подавляющем большинстве случаев мутации в генах *FOXC1* и *PITX2* ассоциированы с синдромом Аксенфельда—Ригера (OMIM #, OMIM #602482) и аномалией Петерса (OMIM #) [11]. Синдром Аксенфельда—Ригера — это различные варианты фенотипов, общей чертой которых является риск развития глаукомы в 50% случаев, вызываемый мутациями в генах *PAX6*, *FOXC1*, *PITX2* и других. Аномалия Петерса характеризуется центральным белым и отсутствием задней части стромы роговицы и десцеметовой мембранны, сращением радужки с задней частью роговицы. Учитывая схожесть фенотипов, приходится проводить дифференциальную диагностику анириидии и с этими пороками развития пе-

редней камеры глаза. Аномалии Петерса и Аксенфельда генетически гетерогенны и обычно ассоциированы с мутациями в одном из генов: *PITX2*, *FOXC1*, *CYP1B1*, *PAX6* и другими [12].

Значительную сложность в молекулярном подтверждении диагноза врожденной анириидии представляет гетерогенность молекулярных механизмов повреждения гена *PAX6*. Они включают в себя не только точечные мутации, но и крупные хромосомные перестройки с вовлечением области p13 хромосомы 11. При этом хромосомные перестройки в ряде случаев могут затрагивать не кодирующую часть гена *PAX6*, а дистальный *«cis*-регуляторный район, находящийся на расстоянии 150 т.п.н. от гена. Кроме того, как и при других аутосомно-доминантных состояниях, при врожденной анириидии довольно высока частота соматического мозаичизма по патогенной мутации, оцениваемая в 17,5% спорадических случаев [13]. Изучение спектра и частот мутаций в гене *PAX6* в разных популяциях мира показало наличие региональных особенностей [14–16]. Высокая гетерогенность нарушений гена *PAX6* и вариабельность спектра и частот мутаций при врожденной анириидии приводит к необходимости разработки различных методических подходов к диагностике и дифференциальной диагностике заболевания для РФ.

**Цель и задачи:** изучение спектра мутаций и разработка протокола для диагностики врожденной анириидии на выборке 34 больных из России.

## Материалы и методы

От всех обследованных больных или их законных представителей (родителей) получено информированное согласие на участие в исследовании. Исследование одобрено этическим комитетом ФГБНУ «МГНЦ».

В исследование включены 34 больных с врожденной анириидией из 27 неродственных семей из России. Большинство случаев представлено единичными больными без отягощенного семейного анамнеза (62%). Возраст пациентов варьировал от 6 месяцев до 51 года (средний возраст 15 лет), большинство больных в выборке обследованы в возрасте до 15 лет. Диагноз поставлен на основе клинической картины в ФГБНУ «МГНЦ» (12 больным) и в Чебоксарском филиале ФГАУ «МНТК «Микрохирургия глаза» им. акад. С.Н. Федорова» (22 больным). Для верификации клинического диагноза использован современный комплекс офтальмологических методов диагностики (клинические, инструментальные и пр.). Проведен анализ результатов обследования пациентов у педиатра и невролога.

Выделение ДНК из периферической крови пациентов проводилось с использованием наборов для выделения «Wizard Genomic DNA Purification Kit» (USA) в соответствии с рекомендациями производителя.

Анализ мутаций в гене *PAX6* включал: двунаправленное прямое секвенирование 14 экзонов гена *PAX6*, муль-

типлексную реакцию лигазозависимой амплификации проб (MLPA) с последующим подтверждающим анализом потери гетерозиготности путем исследования сегрегации STR маркеров в семьях.

Для секвенирования по Сэнгеру были подобраны праймеры к экзонам транскрипционного варианта NM\_000280.4 и к экзону 5а (транскрипционный вариант NM\_001604.5), расположенному внутри интрана 5 мажорной изоформы. Праймеры использовались для амплификации экзональных и фланкирующих их интронных последовательностей по стандартным протоколам. Продукты секвенировали и анализировали с использованием BigDye Terminator v1.1 Cycle Sequencing Kit на анализаторе 3130xl Genetic Analyzer (Applied Biosystems, Foster City, CA). Частота идентифицированных аллелей в мировых популяциях устанавливалась с помощью баз данных: dbSNP (<http://www.ncbi.nlm.nih.gov/snp/>), 1000 геномов (<http://www.1000genomes.org/>), 6500 экзонов (ESP6500, <http://evs.gs.washington.edu/EVS/>) и ExAC browser (<http://exac.broadinstitute.org/>).

Возможный функциональный эффект миссенс-вариантов установлен с применением нескольких предсказательных алгоритмов: SIFT, PolyPhen, MutationTaster, MutationAssessor, FATHMM и Radial SVM, а также с применением шкал консерватизма GERP++ и PhyloP.

Интронные варианты и изменения консенсусных последовательностей сайтов сплайсинга проанализированы с помощью алгоритма Human Splicing Finder v. 2.4.1 [17].

Статус патогенности идентифицированных вариантов последовательности установлен на основе использования рекомендаций американского колледжа медицинской генетики и ассоциации молекулярной патологии (American College of Medical Genetics and Genomics, the Association for Molecular Pathology) [18].

MLPA-анализ проведен с использованием SALSA MLPA набора проб P219-B2 PAX6 (MRC-Holland, Amsterdam, the Netherlands) в соответствии с рекомендациями производителя [19]. Результаты MLPA проанализированы с помощью программы Coffalyser.Net (MRC-Holland). Набор MLPA проб P219-B2 покрывает область chr11:27636398-35117389 (NCBI36/hg18) и содержит пробы на каждый экзон гена PAX6 (кроме 7 и 13), несколько проб на экзоны гена WT1 и некоторые другие гены: соседние с PAX6 со стороны теломеры и центромеры хромосомы, а также на ген SOX2, расположенный на хромосоме 3.

Для подтверждения протяженных делеций области 11p13, обнаруженных реакцией MLPA, использовали анализ потери гетерозиготности, основанный на семейном анализе сегрегации аллелей сцепленных с делециями маркеров. Высокополиморфные маркеры — короткие tandemные повторы (STR) — выбраны из STR Catalog Viewer [20]. В семьях, где у probanda обнаружена хромосомная делеция, выполнено генотипирование по

12 STR-маркерам, расположенным в области chr11:30632179-33144526 (NCBI 36/hg18).

Все внутригенные мутации названы в соответствии с транскрипционным вариантом 1 PAX6 (NM\_000280.4). Границы делеций названы в соответствии с положением MLPA-проб с уменьшенным сигналом (и в соответствии со сборкой NCBI 36/hg18).

Для верификации результатов MLPA в случаях выявления микроделеции в коротком плече хромосомы 11 (p13), затрагивающей ген WT1, проведена таргетная флуоресцентная *in situ* гибридизация (FISH) с локус-специфичным ДНК-зондом (LSP WT1). Дизайн ДНК-зонда предусматривает наличие контрольного локуса (центромерный район хромосомы 11), меченного контрастным по окраске флуорохромом, для оценки эффективности гибридизации, на прицентромерный локус, локализованный в регионе 11p (CEN11p (FITC) FISH Probe, FC0096, Abnova). Для проведения FISH использовался набор FA0275 (Abnova, Taiwan).

Материалом для проведения FISH-исследования служили препараты из суспензии фиксированных некультивированных лимфоцитов периферической крови пациентов (интерфазная FISH). В каждом сете гибридизации были проанализированы как препараты пациентов, так и контрольные препараты некультивированных лимфоцитов, полученные от пациентов без делеции WT1 (case-control). Как в опытных, так и в контрольных образцах было проанализировано не менее 50 интерфазных ядер.

## Результаты

Первоначально, с целью исследовать генетическую гетерогенность больных врожденной аниридией, 34 больным из 27 неродственных семей был проведен молекулярно-генетический анализ, включавший полное секвенирование всех кодирующих экзонов гена PAX6 с последующим MLPA-анализом. 21 больной не имел отягощенного семейного анамнеза, в то время как 13 остальных имели пораженных членов семьи первой и/или второй степени родства.

Прямое двунаправленное секвенирование позволило выявить генетический дефект в 67,6% (23/34) случаев врожденной анириидии. Выявлены 15 разных точковых мутаций, в том числе 7 незарегистрированных генетических вариантов, и 8 известных мутаций [21–28]. Впервые выявлены: пять коротких инсерций и/или делеций (c.291\_294dup4(CTTT), c.449\_453del5(ACGGG)ins7(CCGGAAC), c.760delA, c.879delC, c.1047\_1050del4(CCAG)), одна миссенс-мутация c.19G>C, одна нонсенс-мутация c.511C>T. Кроме того, были идентифицированы ранее описанные мутации: одна мутация сайта сплайсинга (c.-128-2delA), одна миссенс-мутация (c.140A>G), две интронных мутации (c.141+4A>G, c.1032+6T>G), четыре различных нонсенс-мутации (c.307C>T, c.607C>T, c.718C>T,

c.781C>T). Все обнаруженные и подтвержденные мутации зарегистрированы в открытой базе данных о мутациях человека LOVD 3.0 (<http://databases.lovd.nl/shared/genes/PAX6>). В одной семье у одного из родителей обнаружен соматический мозаицизм (>10%) по мутации c.19G>C, ассоциированный с субтильным поражением радужки. Частая и в других популяциях нонсенс-мутация c.607C>T (p.Arg203\*) встретилась у троих неродственных больных из данной выборки. Ни одна из впервые обнаруженных мутаций не встретилась в данных полноэкзонного секвенирования 60 706 неродственных здоровых индивидов из разных популяций Exome Aggregation Consortium (ExAC) [29]. Обнаруженные небольшие внутригенные изменения распределены по всему гену относительно равномерно.

В оставшихся 11 случаях (32,4%) никаких внутригенных мутаций не обнаружено. У этих больных MLPA-анализом выявлены протяженные хромосомные делеции, захватывающие локус гена *PAX6* и/или локусы соседних генов. Полученный в настоящем исследовании на российской выборке больных процент делеций не отличается от данных литературы [14].

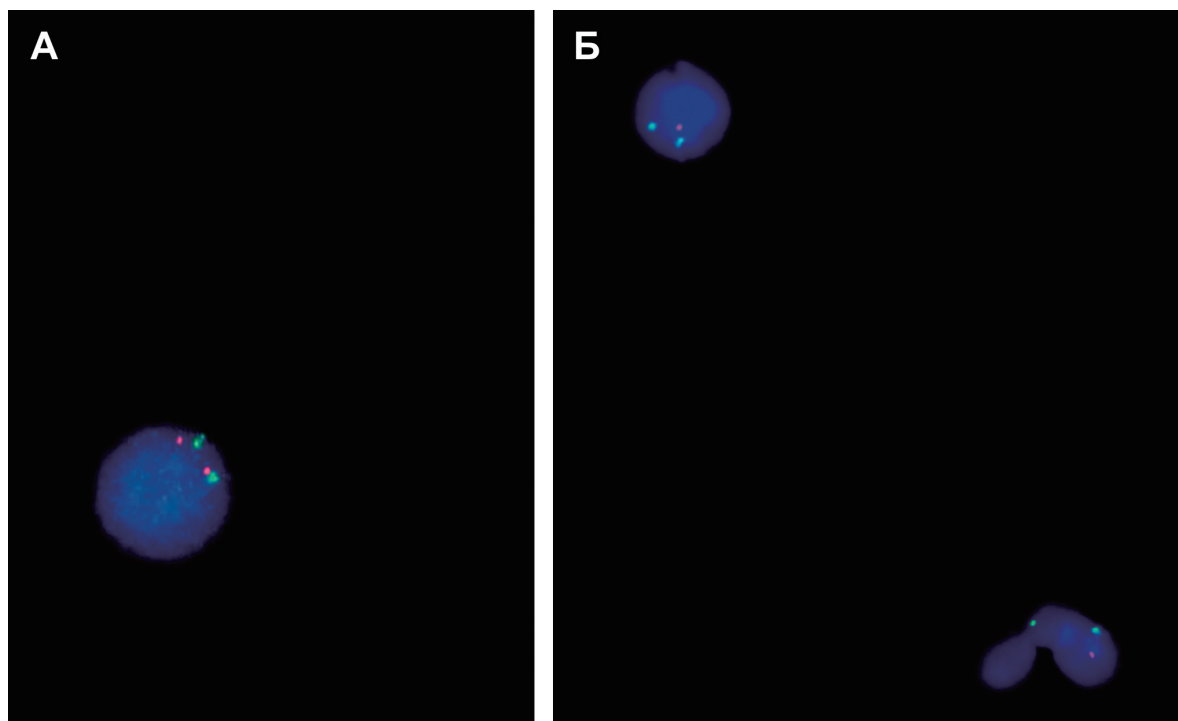
У двоих больных с аниридией обнаружена делеция, по крайней мере, 7500 т.п.н. (A), затрагивающая ген *WT1*. Делеция была верифицирована методом FISH по характерному паттерну гибридизации — единичному сигналу, соответствующему локусу *WT1* (рисунок).

У этих пациентов предположен диагноз *синдром WAGR* с рекомендациями постоянного наблюдения у онкологов до 8 лет.

У остальных 9 пациентов с диагнозом *врожденная аниридия* выявлены делеции размером от 16 до 2200 т.п.н. (таблица; делеции B-G), затрагивающие регион 11p13. В двух случаях обнаружена сходная делеция протяженностью около 446 т.п.н., захватывающая локусы генов *PAX6*, *ELP4* и *DCDC1* (таблица; делеция D), еще у троих неродственных пробандов определена делеция удаленной 3' *cis*-регуляторной области, расположенной на уровне генов *ELP4* и *DCDC1*. Согласно положению проб, длина делетированного участка в этом случае может варьировать от 500 до 1000 т.п.н. (таблица; делеция C).

Так как результаты MLPA-анализа нуждаются в подтверждении другими методами, был проведен анализ потери гетерозиготности в 6 доступных семьях. Установлены информативные маркеры, проведен анализ потери гетерозиготности у пробандов по этим локусам, который позволил подтвердить обнаруженные делеции, а также в ряде случаев определить происхождение мутантного аллеля. В четырех случаях из шести определена потеря отцовского аллеля.

На основе полученных молекулярных данных был разработан протокол для диагностики врожденной аниридии.



Репрезентативный FISH анализ интерфазных ядер лимфоцитов периферической крови больного 20.03 с делецией «B», затрагивающей гены с FSHB по *WT1* del, по сравнению с контрольным образцом. Зонд на ген *WT1* мечен красным красителем, зонд на прицентромерный регион 11p мечен зеленым красителем:

А – FISH анализ контрольного образца; Б – FISH анализ пациента №20.03 (делеция «B»).

1. Детальное офтальмологическое и медико-генетическое обследование пациента и всей его семьи врачами офтальмологом и генетиком с целью постановки первичного клинического диагноза с учетом возможной синдромальной патологии.

2. Подтверждающая молекулярная диагностика, включающая следующие этапы:

- кариотипирование пробандов для исключения синдромальной патологии и грубых хромосомных нарушений.

- проведение анализа копийности генов в локусе 11p13 путем реакции лигазозависимой амплификации зондов (MLPA-анализ).

- при обнаружении крупных делеций, для валидации выполняется генотипирование отягощенных семей по нескольким микросателлитным маркерам хромосомы 11. В случаях обнаружения крупных делеций, затрагивающих ген *WT1*, проводится флуоресцентная *in situ* гибридизация FISH с зондом, специфичным к гену *WT1*, для валидации гемизиготного состояния локуса у пробанда. У таких пациентов предполагается диагноз WAGR-синдрома и даются рекомендации постоянного наблюдения у онколога до 8 лет.

- при отсутствии крупных структурных изменений локуса 11p13 у пробанда, прямым секвенированием по Сэнгеру определяются точковые изменения гена *PAX6*.

- проводится подтверждение патогенности впервые найденных внутригенных мутаций в гене *PAX6* с помощью анализирующих предсказательных программ, данных об отсутствии этого изменения в выборке здоровых людей и/или у здоровых членов семьи.

- определяются мутации у больных членов семьи пробанда, если имеется семейная история. В случае, когда очевидной истории нет, необходимо подтвердить статус мутации *de novo* доказательством отсутствия мутации пробанда у родителей. На этом же этапе проводится анализ возможного соматического мозаичизма у родителей.

- при отсутствии патогенных мутаций в локусе 11p13 возможен дальнейший поиск нарушений в генах *B3GALT1*, *BMP4*, *CYP1B1*, *FOXC1*, *FOXE3*, *OTX2*, *PITX2*, *PITX3*, *SOX2*, *VSX2* (*CHX10*), которые ассоциированы со схожими фенотипами в низком проценте случаев (4%) [30].

## Обсуждение

В результате проведенного исследования определен спектр мутаций в гене *PAX6* на выборке российских больных. Обнаружены некоторые характерные для российской популяции особенности. В спектре ясно определилось смещение в сторону крупных делеций и мутаций, приводящих к сдвигу рамки считывания. Часто появляющиеся в других популяциях миссенс-мутации встретились лишь у пяти пациентов, в том числе в двух семейных случаях. Обе мутации в семейных случаях затрагивают парный домен. В обследованной выборке больных аниридией выявлены не встречавшиеся в других популяциях небольшие делеции и инсерции, приводящие к сдвигу открытой рамки считывания и возникновению преждевременного стоп-кодона. Для данной выборки характерно большое количество спорадических случаев аниридии, а среди них — случаев, ассоциированных с геномными делециями. Частота встречаемости делеции удаленной *cis*-регуляторной области, расположенной на уровне генов *ELP4* и *DCDC1* (примерно 200 т.п.н. от гена *PAX6*) и оставляющей интактной кодирующую область самого гена *PAX6* (3/34), диктует необходимость включения исследования этого региона в рутинный молекулярно-генетический анализ врожденной аниридии. В одной семье один из родителей имеет мозаицизм по мутации, переданной пробанду.

Учитывая обнаруженную гетерогенность и значительный клинический полиморфизм различных нозологических форм, ассоциированных с аниридией, а также высокую вероятность развития опухоли Вильмса (более 50% спорадических случаев), при составлении алгорит-

Таблица

### Обнаруженные делеции региона 11p13

Пациент	Обозначение	Геномные координаты в соответствии с hg18	Приблизительная длина	Вовлеченные гены (частичный список)
52.03 07.03 (WAGR)	A	27 636 398-35 117 389	~7,5 млн п.н.	<i>BNDF-FSHB-DCDC1-ELP4-PAX6-RCN1-WT1-HIPK3-LMO2-EHF-CD44</i>
20.03	B	30 210 128-32 413 841	~2,2 млн п.н.	<i>FSHB-DCDC-ELP4-PAX6-RCN-WT1</i>
09.03, 02.12, 30.0k	C	30 675 524-31 628 232	~1 млн п.н.	<i>DCDC1-ELP4 exon9</i> (кодирующая часть гена <i>PAX6</i> не затронута)
04.14 48.03	D	31 347 785-31 794 031	~0,4 млн п.н.	<i>DCDC1 exon1-ELP4-PAX6 intron1</i>
07.17	E	31 628 232-32 413 841	~0,8 млн п.н.	<i>ELP4 exon 9-PAX6-RCN1-WT1 exon 1</i>
36.03	F	31 778 912-32 208 363	~0,4 млн п.н.	<i>PAX6 exon9-RCN1</i>
57.0k	G	31 778 912-31 794 631	~16 т.п.н.	<i>PAX6 intron 1- PAX6 exon 9</i>

Координаты *PAX6*: 31,762,916-31,789,477 (hg18)

ма диагностики аниридии необходимо принимать во внимание ряд особенностей.

При наличии пораженных родителей, делеция генов *WT1* и *PAX6* редко является генетической причиной аниридии (хотя несколько семейных случаев синдрома WAGR зарегистрированы). Если у пациента с аниридией определена WAGR-делеция, у него резко возрастает риск развития опухоли Вильмса. Если область делеции не захватывает ген *WT1*, дальнейшее определение внутригенных мутаций в гене *PAX6* в качестве причин «аниридийного» клинического фенотипа становится менее безотлагательным, хотя и проясняет генетическое консультирование в отягощенных семьях [12]. Высокая частота спорадических крупных делеций региона 11p13, а также необходимость дифференциальной диагностики с синдромом WAGR определяют необходимость проведения MLPA-анализа на первоначальном этапе диагностического алгоритма.

Однако в любом случае обнаруженные крупные делеции необходимо подтверждать альтернативными методами. При обнаружении делеции региона 11p13, захватывающей ген *WT1*, проводится прямое подтверждение синдрома методом локус-специфичной FISH. В остальных случаях разработанная панель микросателлитных локусов позволяет определить потерю у пробанда маркеров одного из родителей, другими словами определить потерю гетерозиготности по локусам микросателлитных повторов, сцепленных с обнаруженной делецией хромосомы 11.

Из-за высокой частоты мутаций *de novo* и встречающегося соматического мозаицизма по патогенной мутации в гене *PAX6* очень важную роль играет внимательное изучение семейной истории, дополнительное клиническое обследование родителей и выяснение их генетического статуса, от которого зависит риск повторного рождения больного ребенка в семье. Если у одного из родителей есть изолированная аниридия (даже с минимальными клиническими проявлениями, в виде дисплазии радужки), риск составляет 50%. Если родители здоровы, с учетом возможного гонадного мозаицизма, риск рассчитывается индивидуально, с учетом родословной и доли мозаичных клеток, он немного выше среднего в популяции.

Идентификация патогенных изменений кодирующей последовательности или делеции локуса гена *PAX6* подтверждает диагноз изолированной аниридии, определение области, захватывающей *PAX6* и *WT1* предполагает диагноз WAGR (для такого больного резко возрастает риск развития опухоли почки).

## Выводы

Молекулярный анализ тридцати четырех пациентов с врожденной аниридией позволил определить спектр мутаций в гене *PAX6* и в регионе 11p13 в российской по-

пуляции. Кроме того, было определено, что два пациента имеют протяженную делецию региона 11p13, затрагивающую ген *WT1*, что позволило предположительно поставить им диагноз синдром WAGR. Выявлены генетические особенности российских больных с врожденной аниридией: высокая частота случаев без семейной истории, крупных делеций региона 11p13, относительно низкая частота распространенных в других популяциях нонсенс-мутаций. С учетом особенностей спектра мутаций и зарубежного опыта разработан протокол диагностики одного из ВПР глаза — аниридии.

## Список литературы

1. Тератология человека: Руководство для врачей / 2-е изд-е, перераб. и доп. — М.: Медицина, 1991.
2. Хлебникова О.В., Дадали Е.В. Наследственная патология органа зрения. — М., 2014.
3. Shimo N. et al. Aniridia with a heterozygous *PAX6* mutation in which the pituitary function was partially impaired // Intern. Med. — 2014. — Vol. 53(1). — P. 39—42.
4. Netland P.A. et al. Ocular and systemic findings in a survey of aniridia subjects // J. AAPOS. — 2011. — Vol. 15(6). — P. 562—566.
5. Kasmann-Kellner B. Seitz B. Aniridia syndrome: clinical findings, problematic courses and suggestions for optimization of care («aniridia guide») // Ophthalmologe. — 2014. — Vol. 111(12). — P. 1145—1156.
6. Kokotas H., Petersen M.B. Clinical and molecular aspects of aniridia // Clin. Genet. — 2010. — Vol. 77(5). — P. 409—420.
7. Gronskov K. et al. Population-based risk estimates of Wilms tumor in sporadic aniridia. A comprehensive mutation screening procedure of *PAX6* identifies 80% of mutations in aniridia // Hum. Genet. — 2001. — Vol. 109(1). — P. 11—18.
8. Ito Y.A. et al. Severe molecular defects of a novel *FOXC1* W152G mutation result in aniridia // Invest. Ophthalmol. Vis. Sci. — 2009. — Vol. 50(8). — P. 3573—3579.
9. Semina E.V. et al. A novel homeobox gene *PITX3* is mutated in families with autosomal-dominant cataracts and ASMD // Nat. Genet. — 1998. — Vol. 19(2). — P. 167—170.
10. Sadagopan K.A. et al. Aniridia-like phenotype caused by 6p25 dosage aberrations // Am. J. Med. Genet. A, 2015. — Vol. 167A(3). — P. 524—528.
11. Chang T.C. et al. Axenfeld-Rieger syndrome: new perspectives // Br. J. Ophthalmol. — 2012. — Vol. 96(3). — P. 318—322.
12. Hingorani M., Hanson I., van Heyningen V. Aniridia // Eur. J. Hum. Genet. — 2012. — Vol. 20(10). — P. 1011—1017.
13. Qin L. et al. Detection and Quantification of Mosaic Mutations in Disease Genes by Next-Generation Sequencing // J. Mol. Diagn. — 2016.
14. Wawrocka A. et al. 11p13 deletions can be more frequent than the *PAX6* gene point mutations in Polish patients with aniridia // J. Appl. Genet. — 2013. — Vol. 54(3). — P. 345—351.
15. Park S.H. et al. Molecular analysis of the *PAX6* gene for congenital aniridia in the Korean population: identification of four novel mutations // Mol. Vis. — 2012. — 18. — P. 488—494.
16. Ramirez-Miranda A., Zenteno J.C. *PAX6* gene intragenic deletions in Mexican patients with congenital aniridia // Mol. Vis. — 2006. — 12. — P. 318—323.
17. Desmet F.O. et al. Human Splicing Finder: an online bioinformatics tool to predict splicing signals // Nucleic Acids Res. — 2009. — Vol. 37(9). — P. e67.
18. Richards S. et al. Standards and guidelines for the interpretation of sequence variants: a joint consensus recommendation of the

- American College of Medical Genetics and Genomics and the Association for Molecular Pathology // *Genet. Med.* — 2015. — Vol. 17(5). — P. 405—424.
19. Redeker E.J. et al. Multiplex ligation-dependent probe amplification (MLPA) enhances the molecular diagnosis of aniridia and related disorders // *Mol. Vis.* — 2008. — 14. — P. 836—840.
  20. Willems T. et al. The landscape of human STR variation // *Genome Res.* — 2014. — Vol. 24(11). — P. 1894—1904.
  21. Glaser T. et al. PAX6 gene dosage effect in a family with congenital cataracts, aniridia, anophthalmia and central nervous system defects // *Nat. Genet.* — 1994. — Vol. 7(4). — P. 463—471.
  22. Martha A. et al. Three novel aniridia mutations in the human PAX6 gene // *Hum. Mutat.* — 1995. — Vol. 6(1). — P. 44—49.
  23. Davis A., Cowell J.K. Mutations in the PAX6 gene in patients with hereditary aniridia // *Hum. Mol. Genet.* — 1993. — Vol. 2(12). — P. 2093—2097.
  24. Vincent M.C. et al. Screening for PAX6 gene mutations is consistent with haploinsufficiency as the main mechanism leading to various ocular defects // *Eur. J. Hum. Genet.* — 2003. — Vol. 11(2). — P. 163—169.
  25. Axton R.A. et al. Combined SSCP/heteroduplex analysis in the screening for PAX6 mutations // *Mol. Cell Probes.* — 1997. — Vol. 11(4). — P. 287—292.
  26. Skeens H.M., Brooks B.P., Holland E.J. Congenital aniridia variant: minimally abnormal irides with severe limbal stem cell deficiency // *Ophthalmology.* — 2011. — Vol. 118(7). — P. 1260—1264.
  27. Dubey S.K. et al. Mutational analysis and genotype-phenotype correlations in southern Indian patients with sporadic and familial aniridia // *Mol. Vis.* — 2015. — 21. — P. 88—97.
  28. Prosser J., van Heyningen V. PAX6 mutations reviewed // *Hum. Mutat.* — 1998. — Vol. 11(2). — P. 93—108.
  29. Lek M. et al. Analysis of protein-coding genetic variation in 60,706 humans // *bioRxiv.* — 2015. — 030338+.
  30. Ansari M. et al. Genetic Analysis of ‘PAX6-Negative’ Individuals with Aniridia or Gillespie Syndrome // *PLoS One.* — 2016. — Vol. 11(4). — P. e0153757.

## Study of genetics and design of the test-system for diagnosis of eye anterior chamber hereditary disorders: the case of congenital aniridia

Vasilyeva T.A.<sup>1</sup>, Khlebnikova O.V.<sup>1</sup>, Marakhonov A.V.<sup>1,2</sup>, Petrova N.V.<sup>1</sup>, Voskresenskaya A.A.<sup>3</sup>, Pozdeyeva N.A.<sup>3</sup>, Krynskaya I.A.<sup>1</sup>, Kozlova Yu.O.<sup>1</sup>, Ryadninskaya N.V.<sup>1</sup>, Chukrova A.L.<sup>1</sup>, Shilova N.V.<sup>1</sup>, Zinchenko R.A.<sup>1,4</sup>

<sup>1</sup> — Federal State Budgetary Institution «Research Center for Medical Genetics, Moscow

<sup>2</sup> — Moscow Institute of Physics and Technology (State University), Moscow

<sup>3</sup> — Cheboksary branch of S. Fyodorov Eye Microsurgery Federal State Institution, Cheboksary

<sup>4</sup> — Pirogov Russian National Research Medical University, Moscow

**Importance.** Congenital malformations are the main cause of disability in infancy. Aniridia (OMIM # 106210) is a severe autosomal dominant congenital disorder. Aniridia is mainly associated with pathogenic variants in the PAX6 gene. **Objective.** To investigate the mutational and clinical spectra of congenital aniridia in a cohort of Russian patients. To make a design of a protocol for diagnosis of congenital aniridia. **Design, Setting and Participants.** 34 patients with congenital aniridia from 27 unrelated families were analysed. DNA-diagnosis included sequencing of all coding exons of *PAX6* gene as well as analysis of large 11p13 region deletions. **Results.** 22 sporadic and 12 familial cases of congenital aniridia patients underwent detailed ophthalmic examination and molecular diagnosis. Large 11p13 deletion affecting *PAX6* and *WT1* genes was identified in two patients, therefore they were diagnosed with WAGR syndrome. Molecular analysis involved Sanger sequencing of all *PAX6* exons, as well as Multiplex Ligation-dependent Probe Amplification (MLPA), Loss Of Heterozygosity (LOH) assays and FISH analysis. Small intragenic mutations in *PAX6* gene were identified in 23 patients including 7 novel and 8 different previously reported changes. Large deletions were found in the remaining 11 patients. This allowed designing the protocol for congenital aniridia diagnosis. **Conclusions and Relevance.** Mutation detection rate is 100% in the current study. The protocol for diagnosis of congenital aniridia was designed on the basis of genetic peculiarities in Russian aniridia patients.

**Key words:** medical genetics, hereditary diseases, the organ of vision, aniridia, WAGR syndrome, a test system, major chromosomal aberrations, copy number variations, FISH analysis, loss of heterozygosity analysis, mutations